

مدل سازی و طراحی کنترل کننده فازی برای سیستم تزویج mekanikی دو موتور الکتریکی متفاوت به منظور افزایش بازدهی سیستم محرک زیردریایی

مهرداد جعفر بلند^{۱*}، علیرضا صدوqi^۲

۱- استادیار دانشکده مهندسی برق، دانشگاه صنعتی مالک اشتر

۲- استادیار دانشکده مهندسی برق، دانشگاه صنعتی مالک اشتر

*اصفهان، صندوق پستی ۸۳۱۴۵-۱۱۵

J_mehrdad405@hotmail.com

(دریافت مقاله: بهمن ۱۳۸۶، پذیرش مقاله: مهر ۱۳۸۸)

چکیده- در این مقاله طرحواره جدیدی برای سیستم محرک ارائه می شود که باعث افزایش توان و بهبود بازدهی شناورهای زیرسطحی می شود. با استفاده از این روش بدون آنکه حجم و وزن سیستم محرک افزایش یابد توان و بازده آن افزایش می یابد. این طرح در سرعت گشتزنی شناور نسبت به روش استفاده از موتور دو آرمیچر -که یکی از روش‌های متداول در زیردریایی‌ها است- بازدهی را به میزان قابل توجهی افزایش می دهد و نسبت به سایر آرایش‌های متداولی که تاکنون گزارش شده برتری دارد. به دلیل اختلاف مشخصات دو موتور، این طرحواره به سیستم کنترل پیچیده‌ای نیاز دارد. در این مقاله ابتدا نوعی کنترل کننده پیچیده پیشنهاد شده و کنترل پذیری و پایداری آن اثبات می شود. سپس با تفکیک دینامیک‌های کند و تند، سیستم کنترل به دو سیستم کنترل ساده تبدیل می شود. به این ترتیب سیستم چند وروودی چند خروجی غیرخطی همراه با اغتشاش به دو زیر سیستم تک وروردی تک خروجی تفکیک شده و طراحی کنترل کننده ساده‌تر شده و می توان از کنترل کننده‌های کلاسیک نیز استفاده کرد. نتایج حاصل از شبیه‌سازی دو طرح مختلف کنترل کننده کلاسیک و کنترل کننده فازی ارائه شده است. آزمونهای انجام شده بر روی نمونه آزمایشگاهی و صنعتی، نتایج مقاله را تأیید می کند.

کلیدواژگان: بازدهی سیستم رانش، تزویج، تفکیک دینامیک‌های کند و تند، زیردریایی، کنترل سرعت، کنترل فازی.

تجهیزات، اجرای مأموریت‌های طولانی‌تری را ممکن می سازد و

افق روشتری را از درک مجھولات زیر دریا نوید می دهد.

وضعیت‌های حرکتی مهم شناور زیرسطحی عبارتست از:

موفقیت شناور زیرسطحی در امور تحقیقاتی، نظامی و تجاری در

گرو سیستم رانش آن است. افزایش توان و بهبود بازدهی این

۱- مقدمه

برای دستیابی به امتیازهای طرح (ب) لازم است سیستم کنترل تعقیب پیچیده‌ای طراحی شود که بتواند اولاً توان بار را به نسبت توان نامی بین دو موتور تقسیم کند و ثانیاً سرعت پروانه را برای هر سرعت دلخواه تنظیم کند. در این مقاله ابتدا امکان طراحی کنترل کننده بررسی می‌شود. در ادامه سعی شده با استفاده از ویژگی ذاتی موتورها تغییراتی در سیستم کنترل ایجاد شود تا طراحی کنترل کننده ساده شده و تعداد ورودیهای کنترل کننده کاهش یابد.

۲- طرحواره سیستم محرک

۲-۱- تأثیر مشخصه‌های پروانه و موتور سیستم محرک بر بازدهی

در محدوده سرعت زیردریایی‌ها رابطه توان مصرفی پروانه زیردریایی با سرعت حرکت زیردریایی با فرمول (۱) توصیف می‌شود. اگر توان مورد نیاز برای سرعت مشخص معلوم باشد، با استفاده از رابطه (۲)، توان لازم برای هر سرعت دلخواه تعیین می‌شود [۳ و ۴]:

$$P_p = k_p V^r \quad (1)$$

$$P_{p_{new}} / P_{p_{old}} = (V_{New} / V_{Old})^r \quad (2)$$

P_p , $P_{p_{new}}$, $P_{p_{old}}$ به ترتیب توان دریافتی پروانه، توان دریافتی قبلی و توان دریافتی جدید پروانه و V_{New} , V_{Old} به ترتیب سرعت نظیر توانهای فوق و k_p عدد ثابتی است که به شکل پروانه و شکل بدنه زیردریایی بستگی دارد. برای زیردریایی انتخاب شده، منحنی تغییرات توان پروانه بر حسب سرعت زیردریایی به صورت شکل (۱) است. در موتور جریان مستقیم تحریک مستقل با ولتاژ آرمیچر ثابت مشخصه بازدهی - توان به صورت رابطه (۳) است [۵]:

- سرعت گشتزنی شناور یا سرعت کروز: به دلیل وجود جریان آب برای حالت گشتزنی یا آماده باش نیز باید شناور در حال حرکت باشد. باید سیستم محرک به نحوی طراحی شده باشد که در هنگام حرکت در این سرعت، بیشترین بازدهی را داشته باشد.

- بیشینه سرعت: برای کاهش زمان اجرای مأموریت، یا فرار از منطقه خطر لازم است شناور قابلیت حرکت با سرعت بیشتری را مطابق مأموریت داشته باشد.

یکی از برترین طرحواره‌های موجود در سیستم محرک زیردریایی امریکایی WW II است [۱] که آن را طرح (الف) می‌نامیم. توان این موتور توسط دو آرمیچر مشابه به دو قسمت مساوی تقسیم شده است. این دو آرمیچر در یک پوسته قرار دارند و امکان فعل بودن یک آرمیچر یا هر دو وجود دارد.

در این مقاله طرحواره تزویج مکانیکی دو موتور با توانهای مختلف پیشنهاد می‌شود که آن را طرح (ب) می‌نامیم. در طرح (ب) سه مرحله بهره‌برداری وجود دارد. ابتدا موتور کوچک به‌نهایی سرعتهای صفر تا سرعت کروز را با بازدهی مناسب تأمین می‌کند. در سرعتهای بیشتر، موتور بزرگتر به‌نهایی تأمین کننده توان مورد نیاز است. و بالاخره دو موتور کوچک و بزرگ توأمًا در حالی که تزویج مکانیکی دارند توان مورد نیاز را در سرعتهای بالاتر تا سرعت بیشینه تأمین می‌کنند. در این تحقیق مشخص می‌شود که قابلیتهای این طرح بیش از طرح (الف) است. بازدهی طرح (ب) در سرعتهای کم مناسبتر از طرح (الف) است. از آنجاکه در طرح (الف) موتور دو آرمیچر، دارای دو آرمیچر با توانهای یکسان است و توان یک آرمیچر آن بیشتر از توان موتور کوچک طرح (ب) است. پس حجم و وزن افزایش نیافته است.

مشخصه بازدهی بر حسب توان برای موتور فوق و سایر موتورهایی که در این مقاله مطرح می‌شوند در شکل (۲) نشان داده شده است.

براساس منحنی شکل (۲) چنانچه توان خروجی موتور در محدوده ۷۰٪ تا ۱۰۰٪ توان نامی، باشد بازدهی موتور مقدار مطلوبی دارد و چنانچه توان خروجی موتور کمتر از ۲۰٪ توان نامی باشد بازدهی موتور بهشت کاهش می‌یابد. برای بررسی و مقایسه دو طرحواره از نوعی زیردریایی استفاده شده که سرعتهای کروز و بیشینه آن به ترتیب برابر [۴] و [۷][knot] است و به توان ۷۳[kw] نیازدارد. و بازدهی نامی تمامی موتورها در توان نامی در شکل (۲) مشخص شده است. سرعت کروز این زیردریایی [۴][knot] است. توان مصرفی نظیر این دو سرعت برابر [۷۳[kw]] و [۱۳/۵[kw]] است.

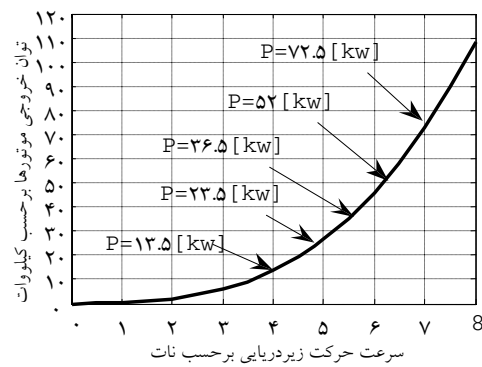
۲-۲-۱-۲-۲-۱-۲-۲-۱-۲-۲-۱- طرحواره (الف)

این موتور دو آرمیچر دارای دو آرمیچر مشابه در یک پوسته است و دو حالت بهره برداری دارد: یکی از آرمیچرها یا هر دو فعال باشند [۱]. اگر برای رسیدن به سرعت [۷][knot] از موتور دو آرمیچر با توان [۷۳[kw]] استفاده شود، توان هر آرمیچر برابر [۳۶/۵[kw]] است. در حالت اول فقط یکی از آرمیچرها فعال است و توان نامی موتور برابر [۳۶/۵[kw]] است. بر اساس شکل (۱) امکان رسیدن به سرعت بیشینه [۷][knot] وجود دارد. در حالت دوم هر دو آرمیچر فعال بوده و امکان رسیدن به سرعت [۷][knot] وجود دارد. برای سرعت کروز توان مورد نیاز برابر [۱۳/۵[kw]] است پس یک آرمیچر فعال است و براساس منحنی شکل (۲) بازدهی برابر ۶۱/۰٪ است. این بازدهی برای حرکت کروز بازدهی متوسطی است.

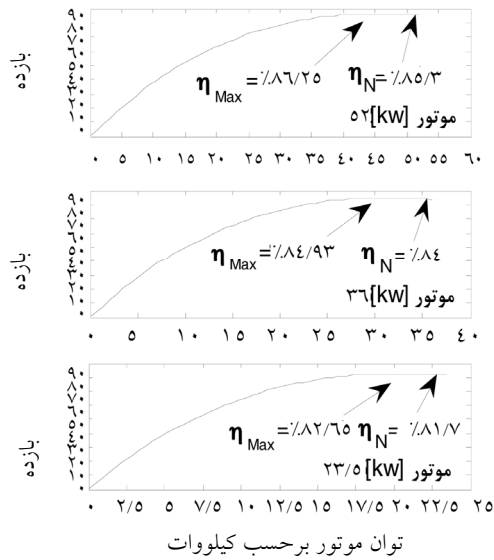
$$\eta = \frac{P_{out}}{P_{in}} \times 100 = \frac{V_a i_a - P_{fe} - P_{cu a}}{V_a i_a + P_{ex} + P_{fan}} \times 100 \quad (3)$$

$$; P_{cu a} = R_a i_a^2$$

که در آن η ، P_{fan} ، P_{ex} ، $P_{cu a}$ ، P_{in} ، P_{out} ، η_{max} و P_N به ترتیب بازدهی موتور، بازدهی بیشینه موتور، توان خروجی موتور، توان ورودی موتور، تلفات هسته، تلفات سیم پیچهای آرمیچر، توان تحریک موتور، توان پروانه خنک کننده موتور و توان نامی موتور است.



شکل ۱ منحنی توان پروانه-سرعت



شکل ۲ منحنی بازدهی-نسبت توان موتورها

شده در سه حالت فوق مربوط به مثال به کار رفته در این تحقیق است.

در اینجا از دو موتور با توانهای $23/5\text{[kw]}$ و 52[kw] استفاده شده است. در این طرح برای سرعت 4[knot] به توان $13/5\text{[kw]}$ نیاز و فقط موتور کروز فعال است؛ در شکل (۲) بازدهی برابر $75/2\%$ است. برای سرعت 6[knot] که به توان $45/8\text{[kw]}$ نیاز است فقط موتور بزرگ فعال و براساس شکل (۲) بازدهی برابر $82/51\%$ است. برای سایر سرعتها نیز به طور مشابه نتایج محاسبه و در جدول (۱) آورده شده است. برای بررسی کیفیت مصرف انرژی سیستمی که شامل دو موتور با بازدهی مختلف است، رابطه بازدهی کل چنین است [۶]:

$$\eta = \frac{E_{out}}{E_{in}} \times 100 \quad (4)$$

در اینجا E_{out} و E_{in} به ترتیب کل انرژی خروجی و ورودی سیستم است.

در روش (ب) وقتی دو موتور متفاوت با هم کار می‌کنند، توان و بازدهی موتورها متفاوت بوده و در نتیجه بازدهی کل از رابطه زیر به دست می‌آید.

$$\eta_E = \frac{(P_S + P_L)}{(P_S / \eta_S + P_L / \eta_L)} \quad (5)$$

در این رابطه η , P_S , P_L , η_S و η_L به ترتیب بازدهی کل، توان خروجی موتور کوچک، توان خروجی موتور بزرگ، بازدهی موتور کوچک و بازدهی موتور بزرگ است. برای مثال در سرعت 7[knot] از شکل (۱) به توان $72/7\text{[kw]}$ نیاز است. سیستم کنترل به نحوی که در ادامه خواهد آمد این توان را به نسبت توان نامی بین دو موتور تقسیم

است. برای سرعت 6[knot] به توان $45/8\text{[kw]}$ نیاز است، پس دو آرمیچر فعال بوده و هر یک توان $22/9\text{[kw]}$ را تأمین می‌کنند و بازدهی آنها برابر $81/3\%$ می‌شود. این نتایج برای سرعتهای مختلف در جدول (۱) آورده شده است.

۲-۲-۲- طرحواره (ب): پیشنهاد این مقاله

نقشه ضعف طرح (الف) آن است که توان دو آرمیچر مساوی است. البته کنترل عملکرد توأم دو آرمیچر مشابه ساده است. به نظر می‌رسد که اگر توان دو موتور طرح (الف) مساوی نباشد و توان موتور کوچکتر برابر توان نظیر سرعت کروز باشد و توان موتور دیگر به نحوی انتخاب شود که جمع توان دو موتور برابر با توان کل موتور دو آرمیچره -که نظیر سرعت بیشینه است- باشد، نتایج بهتری به دست آید. البته این دو موتور به دلیل اختلاف در مشخصه‌های دینامیکی الکتریکی و مکانیکی به سیستم کنترل پیچیده‌تری نیاز دارند. در این مقاله سعی شده برتری این طرحواره اثبات شده و کنترل کننده مناسبی پیشنهاد شود. حالتهای بهره‌برداری از دو موتور تزویج شده را به سه حالت کلی زیر دسته‌بندی می‌کنیم:

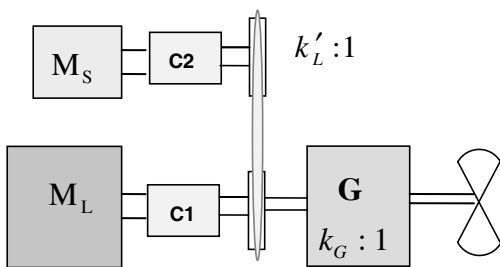
حالت اول: موتور کوچکتر (کروز) به تنها یک فعال و محدوده کنترل سرعت زیردریایی از سرعت صفر تا سرعت گشت زنی یعنی 4[knot] متغیر است.

حالت دوم: موتور بزرگتر (اصلی) به تنها یک فعال بوده و محدوده کنترل سرعت آن از 4 تا $7/25\text{[knot]}$ متغیر است.

حالت سوم: هر دو موتور کار می‌کنند و محدوده کنترل سرعت مجموعه به هم پیوسته، از $7/25\text{[knot]}$ تا 7[knot] متغیر است. توجه شود که مقادیر عددی ذکر

۳-۲- ارتباط مکانیکی دو موتور تزویج شده

ارتباط مکانیکی بین موتورهای طرحواره پیشنهادی در شکل (۳) آورده شده است.



شکل ۳ ارتباط مکانیکی دو موتور تزویج شده

در این طرح M_s , M_L , G به ترتیب موتور بزرگ، موتور کوچک و جعبه دنده و k_L و k_G نسبت تبدیل تسمه پولی و نسبت تبدیل جعبه دنده است. مشکلات اصلی که باید توسط کنترل کننده برطرف شوند عبارتند از:

I- تقسیم نا متعادل توان بار بین دو موتور، موجب اضافه بار نامطلوب یکی از موتورها و کاهش بازدهی موتور

می کند که سهم موتور کوچک و بزرگ به ترتیب برابر $50/1 [kW]$ و $22/6 [kW]$ و با استفاده از منحنی شکل (۲) بازدهی موتورهای کوچک و بزرگ به ترتیب برابر $87/81$ ٪ و $47/85$ ٪ است. با جایگذاری در (۵)، $\eta = 32/84$ ٪ است. در جدول (۱) نتایج بازدهی روش این مقاله با روش موتورهای دو آرمیچره مقایسه شده است. ملاحظه می شود که بازدهی روش (ب) در تمامی موارد بیشتر از بازدهی روش (الف) است که این به افزایش برد زیردریایی منجر می شود.

- قابلیت دیگر طرح (ب): در طرح (الف) وقتی سرعت بیشینه وسیله مشخص شود، حداقل توان مورد نیاز از شکل (۱) به دست می آید و چون در طرح (الف) یک موتور این توان را تأمین می کند، لذا اختیاری در تعیین توان نامی موتورها وجود ندارد. اما در طرح (ب) فقط باید مجموع توان نامی دو موتور برابر با بیشینه توان مورد نیاز باشد و آزادی عمل بیشتر است. لذا می توان بسته به مأموریت، بازدهی کل را در سرعت دلخواه، بیشینه کرد.

جدول ۱ مقایسه بازدهی برای دو حالت (الف) و (ب)

بازدهی کل	روش (ب) استفاده از دو عدد موتور متفاوت تزویج شده				روش (الف) موتور دو آرمیچر $73 [kW]$			توان پروانه [kW]	سرعت پروانه [rpm]	سرعت وسیله [knot]	ج				
	موتور $52 [kW]$		موتور $23/5 [kW]$		بازدهی	آرمیچر دوم [kW]	آرمیچر اول [kW]								
	بازده	توان [kW]	بازده	توان [kW]											
۷۵/۰	-	-	۷۵/۰	۱۳/۵	۷۶/۱۰۷	-	۱۲/۰	۱۳/۵	۱۸۰	۴	۱				
۸۱/۷	-	-	۸۱/۷	۲۳/۵	۸۱/۰۲	-	۲۳/۰	۲۳/۰	۲۱۰	۴/۸	۲				
۸۵/۹۱	۸۵/۹۱	۴۵/۸	-	-	۸۰/۳۱	۲۲/۹	۲۲/۹	۴۵/۸	۲۷۴	۶	۳				
۸۵/۳	۸۵/۳	۵۲	-	-	۸۳/۴۳	۲۶	۲۶	۵۲	۲۸۰	۷۲۵	۴				
۸۴/۴۹	۸۵/۹۵	۴۵/۱	۸۲/۳۲	۲۰/۴	۸۴/۴۲	۳۲/۷۵	۳۲/۷۵	۶۵/۵	۳۰۷	۷۷۵	۵				
۸۴/۳۲	۸۵/۴۷	۵۰/۱	۸۱/۸۷	۲۲/۶	۸۳/۹۵	۳۶/۳۵	۳۶/۳۵	۷۲/۷	۳۱۹	۷	۶				

مقاومت‌ها و L_{fL} و L_{fs} ضریب القایی سیم پیچ‌های تحریک، ω_L و ω_s سرعت‌های زاویه‌ای دوران و T_{eL} و T_{es} گشتاورهای الکتریکی موتورها است.

۲-۳- رفتار دینامیکی اجزای مکانیکی سیستم تزویج شده رابطه سرعت بین دو موتور و رابطه سرعت موتور بزرگ با پروانه چنین است:

$$\omega_s = k'_L \omega_L \quad (13)$$

$$\omega_L = k_G \omega_p \quad (14)$$

که در آن ω_p سرعت زاویه‌ای پروانه است. برای مدل‌سازی رفتار دینامیکی سیستم مکانیکی می‌توان با استفاده از (۴)، رابطه تعادل گشتاورها را به دست آورد. گشتاورها در نقاط مختلف محور که سرعت دوران مختلفی دارد اعمال می‌شوند. لازم است همگی را به یک نقطه از محور که سرعت مشخصی دارد ارجاع دهیم. در اینجا تمامی گشتاورها به نقطه محور خروجی موتور بزرگ ارجاع شده است. بنابر این رابطه تعادل گشتاورهای محرك و مقاوم بر روی محور موتور اصلی به صورت زیر

بیان می‌شود:

$$k \varphi_L i_{aL} + k_L k \varphi_s i_{as} = \frac{T_{Load}}{k_G} + J \frac{d \omega_L}{dt} + \beta \omega_L \quad (15)$$

ضریب اصطکاک معادل و J ممان اینرسی معادل سیستم است که با روابط زیر بیان می‌شوند:

$$J = J_L + k'_L J_s + J_G + \frac{J_p}{k'_G} \quad (16)$$

$$\beta = \beta_L + k'_L \beta_s + \beta_G + \frac{\beta_p}{k'_G}$$

دیگر بر اثر کاهش بار می‌شود.

II- احتمال دارد یکی از موتورها به صورت ژنراتور کار کند. بر اساس روش این مقاله توان بار به نسبت توان نامی دو موتور تقسیم می‌شود:

$$P_L/P_S = P_{NL}/P_{NS} \quad (16)$$

۳- مدل دینامیکی رفتار دو موتور متفاوت تزویج شده

۱-۳- استخراج معادلات رفتار دینامیکی مدارهای الکتریکی موتورها

از آنجا که مدارهای الکتریکی دو موتور با یکدیگر ارتباطی ندارند، روابط ولتاژ آرمیچر و تحریک و گشتاور الکترومغناطیسی را یک بار با اندیس L برای موتور بزرگ و یک بار با اندیس S برای موتور کوچک به کار می‌بریم:

$$V_{aL} = R_{aL} I_{aL} + L_{aL} \frac{di_{aL}}{dt} + k_L \varphi_L \omega_L \quad (17)$$

$$V_{fL} = R_{fL} I_{fL} + L_{fL} \frac{di_{fL}}{dt} \quad (18)$$

$$T_{eL} = k_L \varphi_L i_{aL} \quad (19)$$

$$V_{as} = R_{as} I_{as} + L_{as} \frac{di_{as}}{dt} + k_s \varphi_s \omega_s \quad (20)$$

$$V_{fs} = R_{fs} I_{fs} + L_{fs} \frac{di_{fs}}{dt} \quad (21)$$

$$T_{es} = k_s \varphi_s i_{as} \quad (22)$$

V_{as} و V_{aL} ولتاژها و i_{as} و i_{aL} جریان‌های آرمیچر موتورها، R_{as} و R_{aL} مقاومت‌ها و $k_s \varphi_s$ ضریب القایی آرمیچرهای L_{as} ثابت‌ها و شارهای تحریک دو موتور، V_{fs} و V_{fL} ولتاژها و i_{fs} و i_{fL} جریان‌های تحریک، R_{fs} و

که در آن L_{ABS} و L_{ABL} ضرایب القایی متقابل بین سیم‌پیچ‌های آرمیچر و استاتور موتور های S است.

۴- طراحی کنترل کننده دو موتور تزویج شده بهره‌برداری از موتوری تزویج شده در سه حالت زیر صورت می‌گیرد:

حالت اول: کلاچ C_1 باز و موتور کوچکتر (کروز) به‌نهایی فعال است. برای این منظور ولتاژ تحریک موتور ثابت و برابر مقدار نامی است و فقط از کنترل ولتاژ آرمیچر موتور استفاده می‌شود. هرچه ولتاژ آرمیچر افزایش یابد، سرعت موتور بیشتر می‌شود.

حالت دوم: کلاچ C_2 باز است و موتور بزرگتر (اصلی) به‌نهایی فعال است و محدوده کنترل سرعت زیردریایی از $7/25[\text{knot}]$ تا $4[\text{knot}]$ متغیر است.

سرعت نامی این موتور نیز با توجه به آرایش سیستم مطابق با حرکت کروز زیردریایی است. پس برای محدوده فوق که بالاتر از سرعت نامی است، ولتاژ آرمیچر ثابت و برابر مقدار نامی بوده و از کنترل ولتاژ تحریک استفاده می‌شود. با کاهش ولتاژ تحریک سرعت موتور افزایش می‌یابد.

حالت سوم: هر دو کلاچ C_1 و C_2 بسته و هر دو موتور فعال هستند. محدوده کنترل سرعت این مجموعه به هم پیوسته از $7/25[\text{knot}]$ تا $7[\text{knot}]$ متغیر است. در این حالت نیز هر دو موتور فقط از طریق کنترل ولتاژ تحریک کنترل می‌شوند و ولتاژ آرمیچر آنها ثابت و برابر مقدار نامی است.

مزیت انتخاب فوق: در طرحواره فوق موتورها، هم به کنترل ولتاژ آرمیچر و هم به کنترل ولتاژ تحریک نیاز دارد، پس حداقل به کنترل کننده‌ای با درایو ۴۰۰ آمپری برای آرمیچر و کنترل کننده دیگری با درایو ۱۵ آمپری برای تحریک نیاز است. اما طرحواره این مقاله با توجه به

که $\beta_L, \beta_S, \beta_P, J_G, J_S$ و J_P به ترتیب ضریب اصطکاک و ممان اینرسی موتور بزرگ، موتور کوچک همراه با تسمه و پولی، جعبه‌دنده و پروانه است. محور دو موتور به یکدیگر متصل شده و از طریق جعبه‌دنده به بار متصل می‌شوند. k_G نسبت تبدیل جعبه‌دنده و k_r نسبت تبدیل تسمه و پولی است.

۳-۳- دستگاه معادلات دیفرانسیل غیرخطی رفتار سیستم روابط دستگاه معادلات دیفرانسیل مرتبه اول این طرحواره با استفاده از روابط $[7, 8, 10, 11, 15]$ به صورت روابط [۱۶ تا ۲۰] به دست می‌آیند. در این روابط $\omega_r = \omega_L$

$$\frac{d i_{aL}}{d t} = -\frac{R_{aL}}{L_{aL}} i_{aL} - \frac{k_L \varphi_L}{L_{aL}} \omega_r + \frac{V_{aL}}{L_{aL}} \quad (16)$$

$$\frac{d i_{fL}}{d t} = -\frac{R_{fL}}{L_{fL}} i_{fL} + \frac{V_{fL}}{L_{fL}} \quad (17)$$

$$\frac{d i_{aS}}{d t} = -\frac{R_{aS}}{L_{aS}} i_{aS} - \frac{k'_L k_S \varphi_S}{L_{aS}} \omega_r + \frac{V_{aS}}{L_{aS}} \quad (18)$$

$$\frac{d i_{fS}}{d t} = -\frac{R_{fS}}{L_{fS}} i_{fS} + \frac{V_{fS}}{L_{fS}} \quad (19)$$

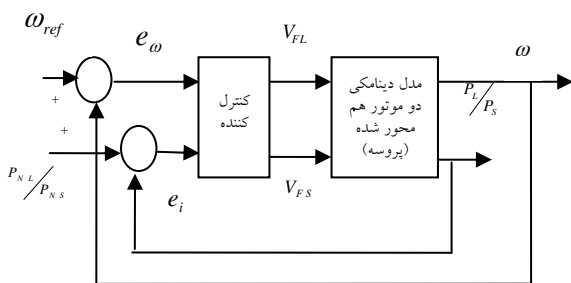
$$\begin{aligned} \frac{d \omega_r}{d t} &= \frac{k_L \varphi_L}{J} i_{aL} + \frac{k'_L k_S \varphi_S}{J} i_{aS} \\ &- \frac{\beta}{J} \omega_r - \frac{T_{Load}}{J K_G} \end{aligned} \quad (20)$$

اگر مشخصه مغناطیسی خطی فرض شود، آنگاه می‌توان در روابط فوق از معادلات زیر استفاده کرد.

$$k_L \varphi_L = L_{AFL} i_{fL} \quad (21)$$

$$k_S \varphi_S = L_{AFS} i_{fS} \quad (22)$$

موتور $\frac{P_{NL}}{P_{NS}}$ است. هدف دوم تنظیم سرعت بار ω_r است که باید برابر با مقدار مطلوب ω_{ref} تنظیم شود، سیستم تحت کنترل، نوعی یک سیستم چند ورودی و چند خروجی غیرخطی است.



شکل ۴ بلوک دیاگرام کنترل کننده‌ها

برای مدل بار این پروسه اختلال نیز در نظر گرفته شده است [۵]، زیرا با تغییر جریانهای دریابی یا در زمان مانور زیردریایی، مدل پروانه به طور دقیق از رابطه توان سوم تعییت نمی‌کند [۸ ۹]. همچنین برای در نظر گرفتن ملاحظات عملی لازم است در زمان شبیه‌سازی و ساخت سیستم کنترل، سایر اختلال‌های ورودی و خروجی کنترل کننده و نویز نیز در نظر گرفته شود [۱۰ ۱۱ و ۱۱]. از آنجا که ولتاژ آرمیچر موتورها ثابت و یکسان است، رابطه $i_{aL}/i_{as} \cong P_L/P_S$ برقرار بوده و نسبت جریان آرمیچر دو موتور را می‌توان جایگزین نسبت توانهای آن دو کرد. در این صورت هدف اول به صورت رابطه ۲۳ بیان می‌شود:

$$i_{aL}/i_{as} = I_{aNl}/I_{aNs}; I_{aNl}/I_{aNs} = k' \quad (23)$$

در اینجا I_{aNl} و I_{aNs} به ترتیب جریان‌های نامی دو موتور بزرگ و کوچک است. خطای نسبت جریان‌های دو موتور را می‌توان به صورت $(k'i_{as} - i_{aL})e_i$ بیان

سه حالت بهره‌برداری فوق برای موتور [۲۳/۵] kW به کنترل کننده‌ای با درایو ۱۰۰ آمپری برای آرمیچر و کنترل کننده‌ای با درایو ۵ آمپری برای تحریک نیاز دارد و برای موتور [۵۲] kW که بزرگتر است، فقط به کنترل کننده‌ای با درایو ۱۲ آمپری برای تحریک نیاز است؛ یعنی درایو آرمیچر موتور بزرگ که جریان بزرگی دارد، حذف شده است. با توجه به جریان کم درایوهای طرح این مقاله، حجم و وزن کنترل کننده‌ها نیز کاهش می‌یابد [۷].

۴-۱- اهداف کنترل کننده

اهداف اصلی کنترل کننده عبارتند از: تقسیم معادل بار بین دو موتور به نحوی که سهم بار هر موتور به نسبت توان نامی آن باشد و تنظیم سرعت موتورها برای دستیابی به سرعت مطلوب. این دو هدف باید به صورت توأم برآورده شود.

۴-۲- سناریوی کنترل کننده مورد نیاز در پروسه تزویج مکانیکی

سیستم پیشنهادی دارای چهار درگاه کنترل است که به ترتیب دو ولتاژ آرمیچر و دو ولتاژ تحریک موتورهای M_L و M_S را شامل می‌شود. فقط در حالت سوم بهره‌برداری این دو موتور به صورت همزمان کار می‌کنند. در این حالت ولتاژ آرمیچر دو موتور ثابت و برابر مقدار نامی است و فقط ولتاژهای تحریک دو موتور کنترل می‌شود. در شکل (۴) بلوک دیاگرام سیستم کنترل طرح پیشنهادی نشان داده شده است.

بار سیستم پروانه‌ای است که در آب می‌چرخد. خروجی‌های سیستم عبارت‌اند از نسبت توان موتورها P_L/P_S و سرعت ω_r . هدف سیستم کنترل، تنظیم این دو خروجی است. هدف اول تنظیم کردن نسبت توان موتورها P_L/P_S به میزان نسبت توان نامی دو

$$\dot{x}_1 = -a_1 x_1 - a_2 x_2 x_5 + d'_1 \quad (24)$$

$$\dot{x}_2 = -a_2 x_1 - a_3 x_3 x_6 + d'_2 \quad (25)$$

$$\dot{x}_3 = -a_3 x_2 + d_3 u_1 \quad (26)$$

$$\dot{x}_4 = -a_4 x_4 + d_4 u_2 \quad (27)$$

$$\dot{x}_5 = a_5 x_1 x_2 + a_6 x_2 x_4 - a_7 x_6 - a_8 x_7 \quad (28)$$

مقادیر مطلوب اهداف کنترل کننده به صورت
 $x_{ad} = \omega_{ref}$ و $x_{2d} = i_{ad} = x_1 / k'$
 مشخص می‌شوند. زیرنویس d معرف مقدار مطلوب هر
 متغیر است.

۴- فیدبک خطی‌سازی ورودی- خروجی

دو خروجی سیستم به صورت $y_2 = x_6$ و $y_1 = x_1$ تعریف می‌شوند. و معادلات (۲۴) تا (۲۸) به صورت زیر بازنویسی می‌شوند.

$$\begin{aligned} \underline{\dot{x}} &= f(\underline{x}) + g \underline{u}; \\ Y_1 &= h_1(\underline{x}); \quad Y_2 = h_2(\underline{x}); \end{aligned} \quad (29)$$

$$\underline{x} = \begin{bmatrix} x_1 \\ x_2 \\ x_3 \\ x_4 \\ x_5 \\ x_6 \end{bmatrix}; \quad g = \begin{bmatrix} \cdot & \cdot \\ \cdot & \cdot \\ d_2 & \cdot \\ \cdot & d_4 \\ \cdot & d_6 \\ \cdot & \cdot \end{bmatrix}; \quad \underline{u} = \begin{bmatrix} u_1 \\ u_2 \end{bmatrix}$$

$$f(\underline{x}) = \begin{bmatrix} -a_1 x_1 - a_2 x_2 x_5 + d'_1 \\ -a_2 x_1 - a_3 x_3 x_6 + d'_2 \\ -a_3 x_2 \\ -a_4 x_4 \\ a_5 x_1 x_2 + a_6 x_2 x_4 - a_7 x_6 - a_8 x_7 \end{bmatrix}$$

کرد [۱۲] که به منظور تقسیم کردن مناسب توان بار بین دو موتور باید مقدار آن برابر صفر شود.

- انتخاب جریان به جای توان دارای مزایای زیر است.

- از روی علامت جریان می‌توان از کارکرد ژنراتوری این دو ماشین جلوگیری کرد.

- اندازه‌گیری جریان آرمیچر نسبت به محاسبه توان، ساده‌تر و دقیق‌تر است

- الگوی ارائه شده بسیار ساده است و می‌توان به سهولت از تقسیم مناسب توان بار بین دو موتور اطمینان یافت.

- امکان اضافه جریان برای موتورها وجود ندارد.

هدف دوم، تنظیم سرعت موتورها برای دستیابی به سرعت مطلوب است. عبارت $e_w = \omega_r - \omega_{ref}$ خطای سرعت نسبت به سرعت مطلوب است که دومنین ورودی سیستم کنترل تعقب محسوب می‌شود. در اینجا لازم است کنترل کننده به نحوی طراحی شود که خطاهای e_i و e_w توأمًا کاهش یابند.

۴- طراحی کنترل کننده در شکل کلی

می‌خواهیم ثابت کنیم که برای سیستم معرفی شده - که دو ورودی دارد - در شکل کلی، امکان طراحی کنترل کننده وجود دارد. از آنجا که هدف اصلی مقاله ساده‌تر کردن این کنترل کننده با شیوه‌ای ابتکاری است، مثالهای کنترل کننده را به روش‌های ابتکاری اختصاص می‌دهیم. با تعریف متغیرهای حالت، $x_1 = i_{aL}$ ، $x_2 = \omega_r$ ، $x_3 = i_{fs}$ ، $x_4 = i_{fL}$ ، $x_5 = i_{as}$ و $x_6 = v_{as} / L_{as}$ ، $d'_1 = v_{al} / L_{al}$ و $d'_2 = v_{fL} / L_{al}$ و $u_1 = v_{fs}$ و $u_2 = v_{fL}$ روابط [۲۰-۲۶] با همان ترتیب به صورت روابط [۲۸-۲۴] بازنویسی شده است. ثابت‌های مثبت a_1 تا a_8 و d_2 و d'_2 و d_4 و d'_4 و d_6 با مقایسه نظیر به نظری این دو دسته روابط تعریف شده که همگی مقداری مثبت دارند.

است و این دو متغیر در زمان کار همزمان و تزویج مکانیکی بودن مخالف صفر هستند، پس شرط برقرار است و:

$$\begin{aligned}x_1 &= z_0 + k' z_1 \\x_2 &= z_1 \\x_3 &= \frac{(z_1 - a_1 z_0, x_1 + a_2 z_1 + a_3 z_2)}{(a_4(z_0 + k' z_1))} \\x_4 &= -(z_1 + a_5 z_0 - d_1') / (a_6 z_2) \\x_5 &= z_2\end{aligned}$$

در این صورت فیدبک‌های خطی ساز v_1 و v_2 معرف دینامیک‌های غیرخطی معادلات (۳۲) و (۳۴) هستند. یعنی $\dot{z}_2 = v_1$ و $\dot{z}_4 = v_2$ است و آنگاه معادلات (۳۱) تا (۳۵) به صورت خطی تبدیل شده و ورودی‌های سیستم عبارتند از:

$$u_1 = \frac{1}{d_1 x_1} \begin{bmatrix} (v_1 - a_1(\dot{x}_1 x_2 - a_2 x_1 x_3) \\ + d_1 x_1 u_1) + \dot{x}_0 (a_4 + \\ 2a_5 x_0)) / a_6 \\ - x_2 (\dot{x}_1 - a_6 x_1) \end{bmatrix} \quad (36)$$

$$u_2 = \frac{1}{d_2} \left[a_6 x_1 - \frac{x_1 \dot{x}_0}{x_0} - \frac{v_1 + a_5 \dot{x}_2}{a_6 x_0} \right] \quad (37)$$

مقادیر فیدبک‌های خطی ساز را به‌نحوی انتخاب می‌کنیم که دستگاه خطی به‌دست آمده پایدار باشد. یک شیوه، استفاده از روش مد لغزشی است. در اینجا چون معادلات خطی است، می‌توان ساده‌تر عمل کرد. کافی است از رابطه زیر استفاده شود:

$$\begin{aligned}v_1 &= \ddot{Y}_{ad} - \alpha_i \dot{e}_i - \alpha_r e_i \\v_2 &= \ddot{Y}_{rd} - \alpha_r \dot{e}_o - \alpha_i e_o\end{aligned} \quad (38)$$

با انتخاب $z_1 = Y_1$ و $z_2 = Y_2$ و براساس "جبری" [۱۰] مشتقهای متوالی خروجی با استفاده از رابطه (۳۰) محاسبه می‌شوند تا عبارت u ظاهر شود:

$$\overset{(i)}{Y} = L_f^i h + L_g L_f^{i-1} h u \quad (30)$$

$$L_f h = \nabla h f$$

$$L_f^i h = L_f (L_f^{i-1} h) = \nabla (L_f^{i-1} h) f$$

∇ اپراتور گرادیان است. هر یک از عبارتهای u خروجی با دو بار مشتق گرفتن، شامل عبارت u می‌شوند. به این ترتیب متغیرهای z_2 و z_4 مشخص می‌شوند. برای تعیین z_5 که میان دینامیک داخلی است، باید $L_g z_5 = 0$ شود، آنگاه معادلات به صورت کانونیکال تبدیل می‌شوند. متغیرهای جدید در شکل کانونیکال به صورت زیر به‌دست می‌آید:

$$\dot{z}_1 = z_2 \quad (31)$$

$$\begin{aligned}\dot{z}_2 &= -a_1 \dot{x}_1 - a_2 x_0 \dot{f}_1 - a_4 x_1 \dot{x}_0 \\&- a_5 x_0 d_1 u_1\end{aligned} \quad (32)$$

$$\dot{z}_3 = z_4 \quad (33)$$

$$\begin{aligned}\dot{z}_4 &= a_6 x_1 \dot{x}_1 + a_1 x_1 \dot{x}_2 + a_6 x_0 \dot{f}_2 \\&+ a_4 x_2 \dot{f}_1 - (a_4 + 2a_5 x_0) \dot{x}_0 \\&+ a_6 x_0 d_1 u_1 + a_1 x_2 d_1 u_1\end{aligned} \quad (34)$$

$$\dot{z}_5 = \dot{x}_1 - k' \dot{x}_2 \quad (35)$$

برای آنکه بتوان x ها و z ها را از روی یکدیگر محاسبه کرد باید $\left| \frac{\partial z}{\partial x} \right| \neq 0$ باشد. پس از محاسبه $x_5 \neq -a_4 x_1 x_0 - a_5 x_0 d_1 u_1$ باشد و از آنجا که x_1 و x_5 به ترتیب جریان آرمیچر موتور بزرگ و سرعت موتورها

می‌کند، حالت سوم محدوده سرعت ۱۳۷/۷ تا ۱۵۶ رادیان بر ثانیه را شامل می‌شود.
بنابر این گستره کار موتورها در زمانی که دو موتور فعال هستند، محدود است و این اجازه می‌دهد که از خطی‌سازی سیستم حول نقطه کار استفاده شود. البته برای اثبات نتایج و عدم وابستگی به نقطه کار، نتایج برای تمامی نقطه کارهای محدوده کاربرد سیستم بررسی و اثبات می‌شوند.

۲-۵- خطی‌سازی مدل

در رابطه (۱۶) از $\varphi_L = L_{AFL} i_{fL}$ استفاده کرده و آن را حول نقطه کار به صورت (۳۹) و در حالت تعادل به صورت (۴۰) بازنویسی می‌کنیم:

$$\begin{aligned} V_{aL.} + \Delta V_{aL} &= (R_{aL} + L_{aL} \frac{d}{dt})(i_{aL.} + \Delta i_{aL}) \\ &+ L_{AFL}(i_{fL.} + \Delta i_{fL})(\omega_L + \Delta \omega_L) \end{aligned} \quad (39)$$

$$V_{aL.} = R_{aL}(i_{aL.} + \Delta i_{aL}) + L_{AFL} i_{fL.} \omega_L. \quad (40)$$

در اینجا Δ نماینده تغییرات متغیر و زیرنویس ۰، معرف مقدار متغیر در نقطه کار است. $\Delta V_{aL} = \Delta V_{aS} = ۰$ است. از آنجا که ولتاژ آرمیچرها ثابت است، اگر دو طرف روابط (۳۹) و (۴۰) از هم کسر و جمله شامل مشتق به سمت راست منتقل شود، رابطه خطی (۴۱) به دست می‌آید:

(41)

$$\begin{aligned} \frac{d \Delta i_{aL}}{d t} &= -\frac{R_{aL}}{L_{aL}} \Delta i_{aL} - \frac{L_{AFL} \omega_r.}{L_{aL}} \Delta i_{fL} \\ &- \frac{L_{AFL} i_{fL.}}{L_{aL}} \Delta \omega_r. \end{aligned}$$

به طور مشابه روابط (۱۷) تا (۲۰) نیز حول نقطه کار خطی می‌شوند. معادلات حالت سیستم خطی به صورت (۴۲) است.

در اینجا e_i و e_ω به ترتیب خطاهای دو هدف سیستم کنترل برای تنظیم نسبت جریان و تنظیم سرعت مطلوب است.

ثابت‌های α_1 ، α_2 را به‌نحوی انتخاب می‌کنیم که برای تحقق هدف اول، ریشه‌های معادله $\dot{e}_i + \alpha_1 e_i + \alpha_2 \dot{e}_i = ۰$ باشند و ثابت‌های α_3 ، α_4 را به‌نحوی تعیین می‌کنیم که برای تحقق هدف دوم، ریشه‌های $\dot{e}_\omega + \alpha_3 \dot{e}_\omega + \alpha_4 e_\omega = ۰$ نیز پایدار باشند.

۵- تفکیک کنترل کننده برای ساده‌تر شدن طراحی

مالحظه شد که طراحی سیستم کنترل مذکور به روش‌های مختلفی امکان‌پذیر است که کنترل کننده فازی نیز یکی از آنهاست [۱۳]. در این مقاله سعی می‌شود از ویژگی‌های خاص طرح به‌نحوی استفاده شود که امکان طراحی کنترل کننده را ساده‌تر نماید و حتی بشود از کنترل کننده‌های کلاسیک نیز استفاده کرد. در این صورت ساده‌سازی طراحی کنترل کننده نسبت به طراحی کنترل کننده اهمیت بیشتری می‌یابد. در تأیید ادعای امکان طراحی ساده‌تر کنترل کننده، در ادامه دو کنترل کننده ارائه می‌شود.

۱-۵- روش ساده‌سازی طراحی کنترل کننده

روش ساده‌سازی که مطرح می‌شود روشی ابتکاری است. این دو موتور فقط در حالت سوم بهره‌برداری به طور هم‌زمان فعال هستند. این محدوده به سرعتهای بالاتر از سرعت نامی دو موتور مربوط می‌شود. برای زیردریایی مطرح شده در این مقاله که سرعت محور موتور بزرگ از صفر تا $\omega_{max} = ۱۵۶$ [rad/s] تغییر

$$A = \begin{bmatrix} -a_1 & \cdot & -a_{1r} & \cdot & -a_{1r} \\ \cdot & -a_2 & \cdot & -a_{2r} & -a_{2r} \\ \cdot & \cdot & -a_{3r} & \cdot & \cdot \\ \cdot & \cdot & \cdot & -a_{4r} & \cdot \\ a_4 & a_{4r} & a_{1r} & a_{1r} & -a_{1r} \end{bmatrix} \quad (45)$$

که در آن پارامترهای a_1 تا a_{1r} از مقایسه (45) با (42) مشخص می‌شود. a_{4r} و a_{1r} نیز در زیر تعریف شده است:

$$a_{4r} = 1/L_{FL}; \quad a_{1r} = 1/L_{FS}$$

البته تمامی ضرایب a_1 تا a_{1r} مثبت هستند.

$P_1 = -a_{1r} = -R_{fL}/L_{fL}$ قطب اول سیستم و $P_2 = -a_{2r} = -R_{fS}/L_{fS}$ قطب دوم سیستم است که هر دو پایدارند. سه قطب P_3, P_4 و P_5 از عبارت $Q(S) = S^3 + b_3 S^2 + b_2 S + b_1 = 0$ بهدست می‌آیند. از مقایسه (44) با عبارت b_3, b_2, b_1 و b_{1r} ضرایب معرفی می‌شوند:

با استفاده از معیار پایداری روتس [14] - شرط لازم برای پایداری، هم علامت بودن ضرایب $Q(S)$ است. این شرط برقرار است زیرا ضرایب b_3, b_2 و b_1 همگی مثبت هستند. - شرط کافی برای پایداری تغییر نکردن علامت عناصر ستون اول جدول روتس است. جدول روتس در جدول (۲) ارائه شده است.

جدول ۲ معیار روتس

S^r	1	b_1
S^r	b_2	b_1
S^1	$c_1 = \frac{b_3 b_2 - b_1}{b_2}$	\cdot
S^0	$d_1 = b_1$	

برای پایداری لازم است ستون اول که به ترتیب a_1, b_3, b_2 و b_1 است، همگی هم علامت باشند. لذا کافی است c_1 مثبت باشد یا $b_1 > b_2$. عبارت $b_3 b_2 > b_1$ در زیر آورده شده است:

۳-۵- کنترل پذیری و پایداری

از مقایسه (42) با ماتریس‌های A و B فضای حالت سیستم مشخص می‌شود. چون $P_C = [B \ AB \ A^T B \ A^2 B]$ کامل است، سیستم کنترل‌پذیر است [11]. برای بررسی پایداری سیستم کافی است قطب‌های سیستم یا همان ریشه‌های عبارت $|SI - A| = 0$ که در (43) و (44) آمده در سمت چپ محور موهومی باشند.

(42)

$$\begin{bmatrix} \Delta i_{aL} \\ \Delta i_{aS} \\ \Delta i_{fL} \\ \Delta i_{fS} \\ \Delta \omega_r \end{bmatrix} = \begin{bmatrix} -\frac{R_{aL}}{L_{aL}} & \cdot & -\frac{L_{AFL} \omega_r}{L_{aL}} & \cdot & -\frac{L_{AFL} i_{fL}}{L_{aL}} \\ \cdot & -\frac{R_{aS}}{L_{aS}} & \cdot & -\frac{k_L L_{AFS} \omega_r}{L_{aS}} & -\frac{k_L L_{AFS} i_{fS}}{L_{aS}} \\ \cdot & \cdot & -\frac{R_f L}{L_f L} & \cdot & \cdot \\ \cdot & \cdot & \cdot & -\frac{R_f S}{L_f S} & \cdot \\ \frac{L_{AFL} i_{fL}}{J} & \frac{K_L L_{AFS} i_{fS}}{J} & \frac{L_{AFL} i_{aL}}{J} & \frac{K_L L_{AFS} i_{aS}}{J} & -\frac{\beta + k'' \omega_r}{J} \end{bmatrix} \begin{bmatrix} \Delta i_{aL} \\ \Delta i_{aS} \\ \Delta i_{fL} \\ \Delta i_{fS} \\ \Delta \omega_r \end{bmatrix} \quad (43)$$

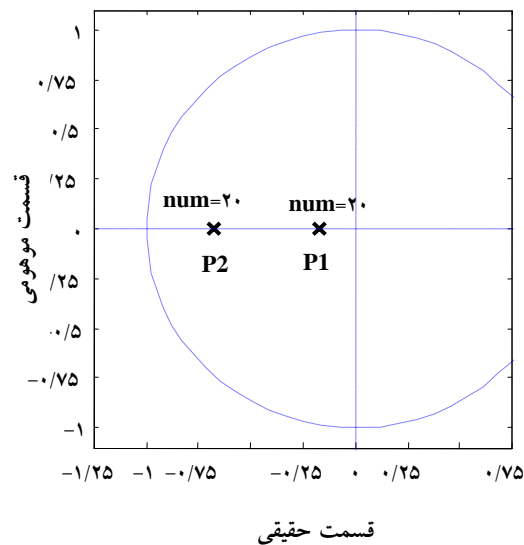
$$|SI - A| = (S + a_v)(S + a_{\lambda})Q(S) = (s - P_1)(s - P_2)(s - P_3)(s - P_4) \quad (44)$$

$$(s - P_5) = 0$$

$$Q(S) = S^3 + (a_1 + a_2 + a_{1r})S^2 + (a_1 a_2 + a_1 a_{1r} + a_2 a_{1r} + a_1 a_1 + a_2 a_2)S + (a_1 a_2 a_{1r} + a_2 a_1 a_2) = 0$$

برای خلاصه‌نویسی ماتریس A به صورت (45) بازنویسی می‌شود:

آورده شده و با علامت پیکان بر روی شکل (۵) مشخص شده است.



شکل ۶ دو قطب ثابت سیستم در ۲۰ نقطه کار

جدول ۳ ریشه‌ها در حد پایین و بالا

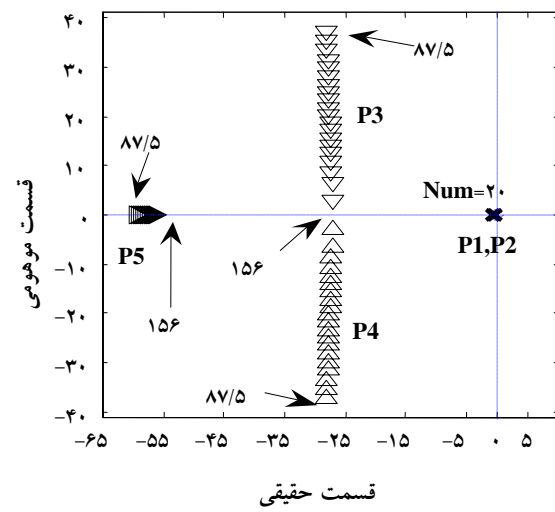
قطب	سرعت نقطه کار	سرعت نقطه کار
	$\omega_r = 156[\text{rad/s}]$	$\omega_r = 87/5[\text{rad/s}]$
P_1	-۰/۱۷۵	-۰/۱۷۵
P_2	-۰/۸۰	-۰/۸۰
P_3, P_4	$-27/127 \pm j 2/997$	$-27/10 \pm j 37/356$
P_5	-۵۹/۵۳۵	-۵۷/۴۷۲

ماتریس A برای نقطه کار $\omega_r = 156[\text{rad/s}]$ در زیر آورده شده است.

$$A = \begin{bmatrix} -46.06 & 0 & -22.081.8 & 0 & -293.87 \\ 0 & -64.46 & 0 & -116.699.5 & -378.06 \\ 0 & 0 & -0.175 & 0 & 0 \\ 0 & 0 & 0 & -0.78 & 0 \\ 0.915 & 0.996 & 82.79 & 0.9966 & -3.265 \end{bmatrix}$$

$$b_1 b_2 = b_1 + a_1 b_2 + (a_1 + a_2)(a_1 a_2 + a_2 a_1) + a_1 a_2 a_3 + a_2 a_1 a_3 \quad (46)$$

ملحوظه می‌شود که این شرط همواره برقرار است. در اینجا ثابت شد که رفتار سیستم دو موتور هم محور نیز کنترل‌پذیر و همچنین ذاتاً پایدار است. می‌خواهیم اثر تغییر نقطه کار را بر موقعیت قطبها بررسی کنیم.



شکل ۵ پنج قطب سیستم در ۲۰ نقطه کار

ابتدا ۲۰ نقطه کار را با فواصل مساوی در کل محدوده عملیاتی سیستم (در این مثال محدوده سرعت نقطه کار از روابط حالت (۲۷) با صفر کردن جملات شامل مشتق‌ها، معادلات حالت استاتیک به دست آمد و از حل آن، چهار متغیر دیگر برای نقاط کار محاسبه و برای ۲۰ نقطه کار، پنج ریشه ماتریس ($SI - A$) تعیین شد که در شکل‌های (۵) و (۶) نشان داده شده است. مقادیر مربوط به قطب‌های سیستم برای دو نقطه کار (۳) $\omega_r = 156[\text{rad/s}]$ و $\omega_r = 87/5[\text{rad/s}]$ در جدول (۳)

رابطه (۴۸) با توجه به سطر چهارم ماتریس A ورودی $\Delta V_{fS}(s)$ ابتدا باعث تغییر در (s) می‌شود و سپس بر اثر تغییر (s) سایر تغییرات حاصل می‌شود. لذا برای بررسی اختلاف اثر این ورودی در (s) و $\Delta\omega_r(s)$ ، تابع تبدیل $\Delta i_{as}(s)$ و $\Delta\omega_r(s)$ در (s) نسبت به $\Delta i_{fS}(s)$ به ترتیب از (۴۷) و (۴۸) به صورت زیر به دست می‌آید. که در آنها $Q(S)$ از (۴۴) جایگذاری شده است:

$$\frac{\Delta\omega_r(s)}{\Delta i_{fS}(s)} = \frac{(s+a_i)[a_{ii}(s+a_i)-a_ia_{ii}]}{(s-P_r)(s-P_i)(s-P_o)} \quad (49)$$

$$\frac{\Delta i_{fS}(s)}{\Delta V_{fS}(s)} = \frac{a_{ii}}{(s+a_i)} = \frac{a_{ii}}{(s-P_r)}$$

$$\begin{aligned} \frac{\Delta i_{as}(s)}{\Delta i_{fS}(s)} &= \left[\frac{(s+a_i)[a_{ir}(s+a_i)-a_ia_{ri}]}{(s+a_i)(s-P_r)(s-P_i)(s-P_o)} \right. \\ &\quad \left. + \frac{-a_ia_{ri}}{(s+a_i)} \right] \end{aligned} \quad (50)$$

از (۴۹) ملاحظه می‌شود که رفتار $\Delta\omega_r(s)$ توسط قطب‌های P_r ، P_i و P_o شبیه‌سازی شده است. قطب P_o از قطب‌های P_r و P_i و از محور موہومی دورتر است و لذا ثابت زمانی کوچکتری دارد.

رابطه (۵۰) مشخص می‌شود که رفتار $\Delta i_{as}(s)$ از $\Delta i_{fS}(s)$ دو قسمت تشکیل می‌شود.

اما به دلیل وجود صفر، این دو قسمت را از نظر سرعت و بهره مقایسه می‌کنیم. در هر دو جمله، قطب دور بودن از محور موہومی می‌تواند رفتاری سریع را به وجود

۴-۵-بررسی دینامیک‌های کند و تند و سناریوی کنترل کننده

ملاحظه می‌شود که قطب‌های P_r و P_i بسیار نزدیک به محور موہومی بوده و ثابت زمانی بزرگی دارند. دلیل آن بزرگ بودن ضریب القایی L_{fL} و L_{fS} است. یعنی هر تغییر در ΔV_{fL} و ΔV_{fS} به کندی، به ترتیب در i_{fL} و i_{fS} اثر می‌گذارد. از آنجا که اهداف کنترل جریان آرمیجرها و سرعت موتور است و آنها مستقیماً از i_{fL} و i_{fS} متأثر هستند، پس این دو قطب در مقایسه با سرعت دینامیک‌های مورد نظر مقاله بی‌اثرند. لازم است توضیح دهیم که برای موتور با مشخصات معین، ولتاژ نامی تحریک موتور را می‌توان در هنگام سفارش تعیین کرد. هر چه ولتاژ نامی بیشتر باشد، تعداد حلقه سیم پیچ تحریک بیشتر می‌شود که این باعث افزایش ضریب القایی و کند شدن سرعت پاسخ می‌شود.

برای مقایسه رفتار $\Delta\omega_r(s)$ و $\Delta i_{as}(s)$ به توابع تبدیل آنها نیاز است. معادلات خطی (۴۲) را به حوزه لاپلاس می‌بریم. از سطر پنجم (۴۲) رابطه (۴۷) به دست می‌آید. با جایگذاری رابطه (۴۷) در سطر دوم (۴۲) رابطه (۴۸) به دست می‌آید.

(47)

$$\begin{aligned} \Delta\omega_r(s) &= \frac{(s+a_i)a_{ii}[a_{ii}(s+a_i)-a_ia_{ii}]}{(s+a_v)Q(s)} \Delta V_{fL}(s) \\ &\quad + \frac{(s+a_i)a_{ii}[a_{ii}(s+a_i)-a_ia_{ii}]}{(s+a_i)Q(s)} \Delta V_{fS}(s) \end{aligned}$$

$$\begin{aligned} \Delta i_{as}(s) &= \frac{a_ia_{ii}[a_ia_{ii}-a_{ii}(s+a_i)]}{(s+a_v)Q(s)} \Delta V_{fL}(s) \\ &\quad + \frac{-a_{ii}}{(s+a_i)(s+a_v)} \times \\ &\quad \left[a_o + \frac{(s+a_i)[a_{ir}(s+a_i)-a_ia_{ri}]}{Q(s)} \right] \Delta V_{fS}(s) \end{aligned} \quad (48)$$

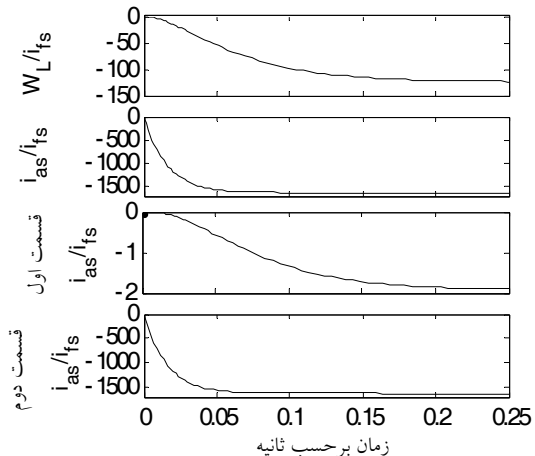
پس علی‌رغم آنکه با هر تغییر در ورودی، کمیتهای (s) و $\omega_r(s)$ به طور همزمان به نقطه تعادل می‌رسند، اما (s) فقط شامل دینامیک کند است، اما (s) سریعاً به تغییرات پاسخ می‌دهد و به‌کندی با تغییرات سرعت تطبیق می‌یابد. مثلاً هنگام استارت کردن موتور، قبل از آنکه سرعت دوران تغییر کند، جریان موتور به چند برابر جریان نامی جهش می‌کند. پس از افزایش تدریجی سرعت، جریان موتور نیز همزمان کاهش می‌یابد. لذا کنترل‌کننده به صورت زیر تفکیک می‌شود.

- کنترل‌کننده اول (کنترل تعقیب نسبت جریان): دارای مقدار مطلوب i_{aL} است و از طریق اعمال فرمان V_{fs} جریان i_{as} را به صورتی تنظیم می‌کند که خطای $e_i = k'i_{as} - i_{aL}$ (حلقه دینامیک سریع) کاهش یابد.
- کنترل‌کننده دوم (کنترل تعقیب سرعت): دارای مقدار مطلوب ω_{ref} است و هدف آن کاهش خطای $e_\omega = \omega_r - \omega_{ref}$ بوده. و از طریق فرمان V_{fL} اعمال می‌شود.

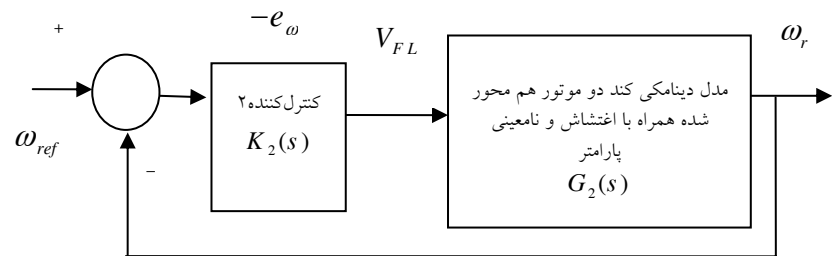
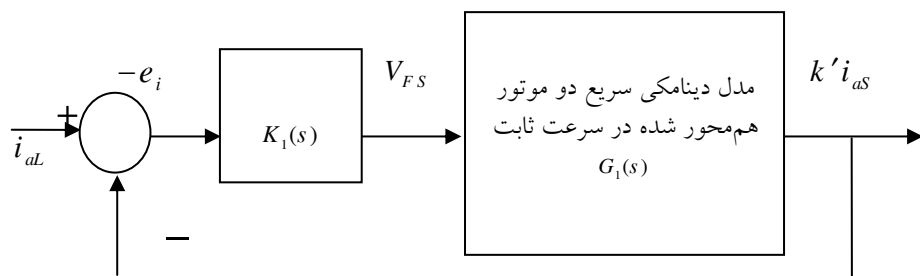
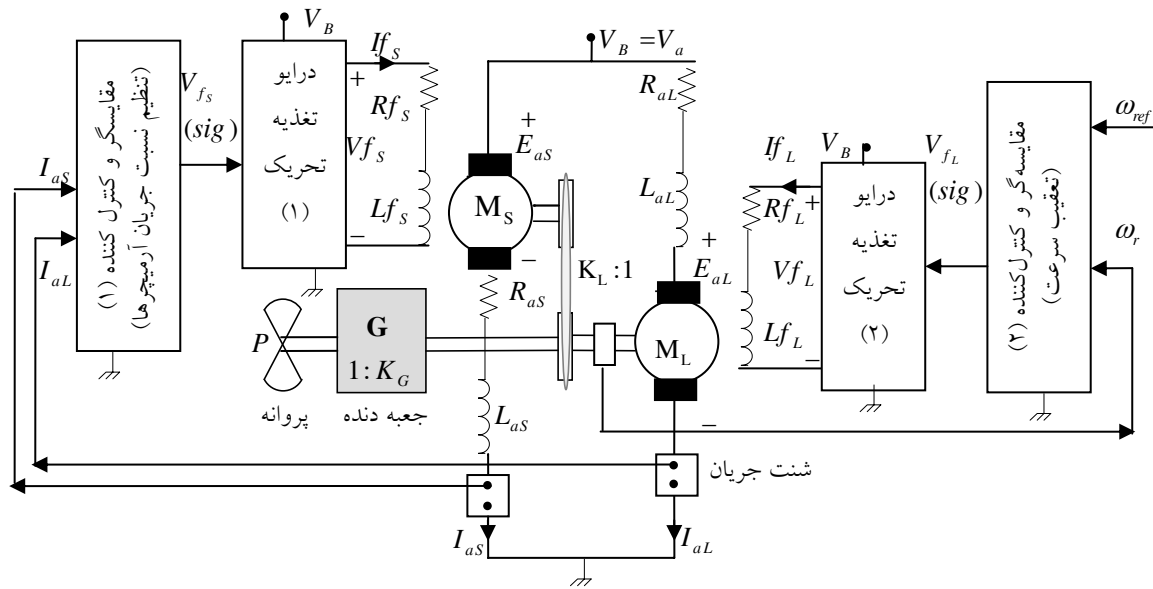
نحوه کارکرد: هر تغییر در V_{fL} پس از تغییر دادن i_{aL} به سرعت در i_{aL} اثر می‌کند. و مقدار مطلوب کنترل‌کننده اول را مشخص می‌کند اما قبل از تغییر در ω_r ، کنترل‌کننده اول با تغییر در V_{fs} به سرعت مقدار i_{as} را برای کاهش e_i تنظیم می‌کند. البته با آن که اثر V_{fL} به‌کندی مقدار ω_r را برای کاهش e_ω تنظیم می‌کند، اندکی در مقدار i_{fL} که مقدار مطلوب کنترل‌کننده اول است- تغییر حاصل می‌شود و کنترل‌کننده اول به سرعت مقدار i_{as} را برای کاهش e_i تنظیم می‌کند.

آورده. قسمت اول رابطه (۵۰) همان رابطه (۴۹) است که قطب سریعتر $-a_4 = s$ به آن اضافه شده؛ اما با توجه به وجود دو قطب کندر، انتظار نمی‌رود که سرعت تغییرات افزایش قابل ملاحظه‌ای پیدا کند. قسمت دوم رابطه (۵۰) فقط شامل قطب سریع $-a_4 = s$ است، لذا رفتار سریعتری را به وجود می‌آورد. از طرفی بهره قسمت دوم بزرگتر است.

در شکل (۷) پاسخ (۷) پاسخ (s) ، $\Delta\omega_r(s)$ ، $\Delta i_{fs}(s)$ ، قسمت اول (s) و $\Delta i_{fs}(s)$ و قسمت دوم (s) به ورودی پله واحد $\Delta i_{as}(s)$ ارائه شده است [۹]. هر تغییر در $\Delta V_{fs}(s)$ ابتدا در $\Delta i_{fs}(s)$ اثر می‌کند سپس به سرعت و با بهره زیادی بر $\Delta i_{as}(s)$ بر اثر می‌گذارد (به مقدار بزرگ a_{12} در ماتریس A در ماتریس A توجه شود). و به‌کندی و با بهره کم بر $\Delta\omega_r(s)$ اثر می‌گذارد (به مقدار کوچک a_{12} از ماتریس A توجه شود). البته تغییرات کند اعمال شده در $\Delta\omega_r(s)$ متعاقباً در $\Delta i_{as}(s)$ اثر می‌گذارد.



شکل ۷ پاسخ پله (s) ، $\Delta\omega_r(s)$ ، قسمت اول (s) و $\Delta i_{fs}(s)$ ، قسمت دوم (s) نسبت به $\Delta i_{as}(s)$



شکل ۹ بلوک دیاگرام‌های کنترل‌کننده‌ها شکل بالا- دینامیک تند سیستم و کنترل‌کننده ۱ شکل پایین- دینامیک کند سیستم و کنترل‌کننده ۲

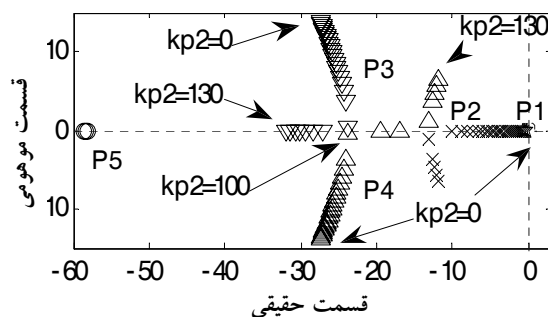
۱-۶- کنترل کننده کلاسیک PI

مالحظه شد که سیستم پایدار ذاتی است. در اینجا به نظر کاهش خطای تعقیب از کنترل کننده تناسبی و برای کاهش خطای ماندگار از کنترل کننده انتگرالگیر استفاده می‌کنیم [۱۴]. برای کنترل کننده دوم کافی است ضمن پایداری حلقه بسته شرط (۵۱) برای $\omega \leq \omega_{\max}$ برقرار باشد. (در مثال این مقاله با توجه به قسمت موهومی قطبها در شکل (۸) و رعایت احتیاط $\omega_{\max} = 50$ انتخاب شده است). به طور مشابه برای کنترل کننده اول شرط (۵۲) وجود دارد.

به این ترتیب دو بلوک دیاگرام مجزا برای کنترل کننده ارائه می‌شود. طرحواره دو موتور تزویج شده و کنترل کننده آنها در شکل (۸) آورده شده و کنترل کننده های تفکیک شده در شکل (۹) آورده شده است. تقریب‌های ساختاری نیز به نوان نامعینی سیستم و اغتشاش در نظر گرفته شده است. به همین منظور از کنترل کننده‌های مقاوم استفاده می‌شود [۱۲].

۶- طراحی کنترل کننده‌های نمونه و نتایج شبیه‌سازی

در اینجا بر اساس نتایج حاصل از بخش ۵، از دو کنترل کننده مجزا استفاده شده است. اولین کنترل کننده براساس مقدار جریان های i_{aL} و i_{as} متغیر V_{fs} را به نحوی تنظیم می‌کند که جریان i_{as} اندازه مناسبی برای کاهش $e_i = (k' i_{as} - i_{aL})$ داشته باشد. این کنترل کننده دارای دینامیک سریع است و به سرعت به مقدار نهایی خود می‌رسد. دومین کنترل کننده بر اساس مقدار مطلوب ω_{ref} و مقدار ω_r ، ولتاژ V_{fL} را به نحوی تنظیم می‌کند که خطای $e_\omega = \omega_r - \omega_{ref}$ کاهش یابد. این کنترل کننده کند است. تغییراتی که بر اثر کنترل کننده اول به وجود می‌آید به صورت نامعینی پارامترها در نظر گرفته می‌شود. برای هر دو بلوک دیاگرام، نسبت خروجی به ورودی به صورت $i = 1, 2$ برای $k_i(s)G_i(s) / (1 + k_i(s)G_i(s))$ است. برای آنکه تعقیب به خوبی انجام شود و خروجی برابر ورودی باشد. کافی است ضمن پایداری حلقه بسته، شرط $|k_i(j\omega)G_i(j\omega)| \gg 1$ به ازای $i = 1, 2$ و برای تمامی مقادیر ω برقرار باشد.



شکل ۱۰ جایه‌جایی قطبها بر اثر تغییر k_{p_2}

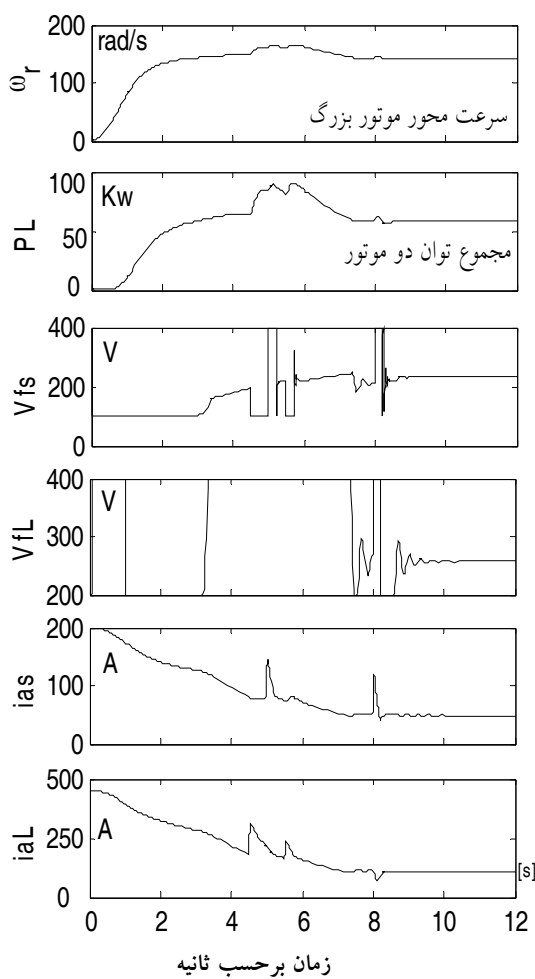
برای بررسی پایداری دو رابطه زیر در (۵۰) جایگذاری کرده و ماتریس A_{close} جدید حلقه بسته در (۵۳) محاسبه می‌شود. به عنوان مثال تغییرات قطبها برای A_{close} در $30^\circ \leq k_{p_2} \leq 130$ در مقدار با فواصل مساوی در شکل (۱۰) ترسیم شده است.

(۵۱)

$$\left| \left(k_{p_r} + \frac{k_{I_r}}{j\omega} \right) \frac{a_{i_r}((j\omega+a_{i_r})(a_{i_r}(j\omega+a_{i_r})-a_{i_r}a_{i_r})-a_{i_r})}{(j\omega+a_{i_r})(j\omega-P_r)(j\omega-P_r)(j\omega-P_i)(j\omega-P_i)} \right| \gg 1 \quad (52)$$

$$\left| \left(k_{p_r} + \frac{k_{I_r}}{j\omega} \right) \frac{a_{i_r}(s+a_{i_r})(a_{i_r}(s+a_{i_r})-a_{i_r}a_{i_r})}{(s-P_r)(s-P_i)(s-P_i)(s-P_o)} \right| \gg 1$$

است. هر دو موتور همزمان و هر یک از طریق دو پله مقاومت راهانداز، راهاندازی شدند. برای سرعت ارائه شده است. نتایج شامل کمیتهای جریان آرمیچر دو موتور، سرعت موتور اصلی و ولتاژهای تحریک (خروجی کنترل‌کننده‌ها) است. خطای کنترل‌کننده‌ها و توان دو موتور به ترتیب در شکل‌های ۱۲ تا ۱۳ آورده شده است.



شکل ۱۱ کمیتهای استارت دو موتور هم محور برای سرعت

$$\omega_{ref} = ۳۱۹ \text{ [rpm]}$$

$$A_{close} = \begin{bmatrix} -a_1 & \cdot & -a_7 & \cdot & -a_r \\ \cdot & -a_4 & \cdot & -a_6 & -a_3 \\ a_{17} & a_{17} & a_{18} & a_{19} & a_r \\ a_{21} & a_{22} & a_{23} & -a_{24} & a_{25} \\ a_9 & a_1 & a_{11} & a_{12} & -a_{13} \end{bmatrix}$$

$$\begin{aligned} u_1 &= V_{fs} = e_\omega k_\omega = k_{p1} e_\omega + k_{I1} \dot{e}_\omega \\ &= k_{p1} x_0 + k_{I1} \dot{x}_0 - k_{p1} \omega_{ref} \end{aligned} \quad (53)$$

$$\begin{aligned} u_7 &= V_{fL} = e_i k_i = k_{p1} e_i + k_{I1} \dot{e}_i \\ &= k' k_{p1} x_7 + k' k_{I1} \dot{x}_7 - k_{p1} x_1 - k_{I1} \dot{x}_1 \end{aligned} \quad (54)$$

در اینجا ضرایب به صورت زیر است:

$$\begin{aligned} a_{11} &= a_9 a_{14} k_{I1}, & a_{77} &= a_1 a_{14} k_{I1}, \\ a_{77} &= a_{11} a_{14} k_{I1} - a_7, & a_{74} &= a_{17} a_{14} k_{I1}, \\ a_{70} &= a_{14} (a_{14} k_{p1} - a_{77} k_{I1}), & & \\ a_{77} &= a_{10} (a_1 k_{I1} - k_{p1}), & & \\ a_{74} &= k' a_{14} (k_{p1} - a_7 k_{I1}), & a_{78} &= a_7 a_{10} k_{I1}, \\ a_{79} &= a_8 + k' a_6 a_5 k_{I1}, & & \\ a_{7r} &= a_{10} k_{I1} (a_r - k' a_7) & & \end{aligned}$$

به عنوان یک انتخاب، $k_{p1} = k_{p2} = ۱۰۰$ در نظر گرفته شد تا قطب‌ها بر روی محور موهومنی قرار گیرند. خطای ماندگار برای حالتی که $k_{I1} = k_{I2} = ۰$ ، برابر است با $e_\omega = ۲.۰۲ \text{ [rad / s]}$ ، $e_i = ۲.۰۲ \text{ [A]}$ و برای $e_\omega = ۰.۲۳ \text{ [rad / s]}$ ، $e_i = ۰.۱۶ \text{ [A]}$ برابر $k_I = k_{I1} = ۱$ و برای $e_i = ۰.۰۱۲ \text{ [A]}$ ، $k_{I1} = k_{I2} = ۲$ برابر $k_I = k_{I1} = ۲$ برابر $e_\omega = ۰.۰۱۸ \text{ [rad / s]}$

در اینجا از دو کنترل‌کننده PI با ضرایب $k_{I1} = k_{I2} = ۲$ و $k_{p1} = k_{p2} = ۱۰۰$ استفاده شده

فقط در زمان کوتاه مربوط به خروج مقاومتهای راهانداز خطای زیاد است که از نظر بهره‌برداری اهمیتی ندارد.

۶-۲-کنترل کننده‌های فازی

به منظور نرمتر شدن سیگنال کنترل، از دو کنترل کننده فازی استفاده شد. در هر دو کنترل کننده، قوانین به شکل ممدازی مقادیر زبانی به صورت گوسی است و از روش نافازی‌سازی مرکز تقلیل استفاده شده است [۱۳].

۶-۱-کنترل کننده فازی موتور بزرگتر (اصلی)

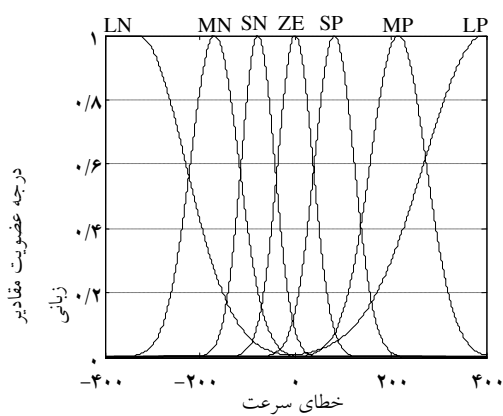
بر اساس خطای سرعت (e_{ω}) و انتگرال آن (Sum_e_{ω}) مجموعه قوانین بر اساس تجربیات حاصل از کنترل کننده PI در جدول (۴) برای تعیین ولتاژ تحریک موتور اصلی (خروجی کنترل کننده) ارائه شده است. مقادیر زبانی (Vf_L) به صورت زیر است:

$$e_{\omega} : [LN, MN, SN, ZE, SP, MP, LP]$$

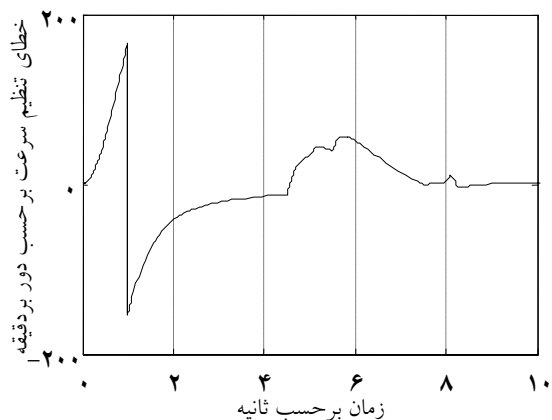
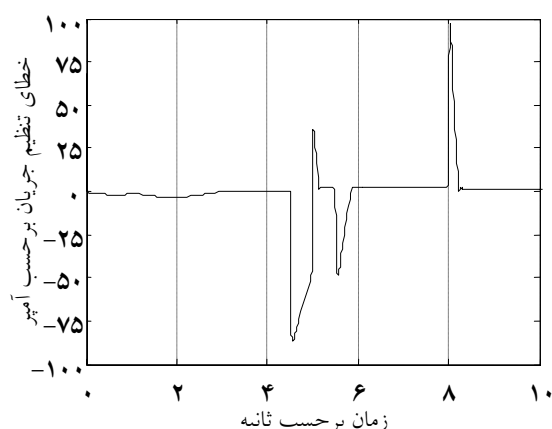
$$Vf_L : [VSP, SP, MP, LP, VLP]$$

$$: [LN, MN, SN, ZE, SP, MP, LP] Sum_e_{\omega}$$

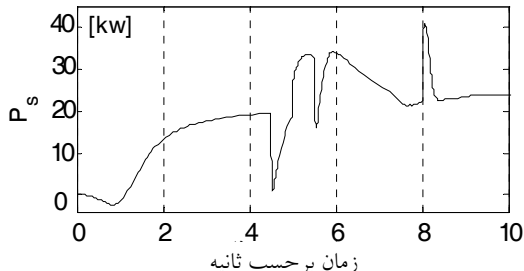
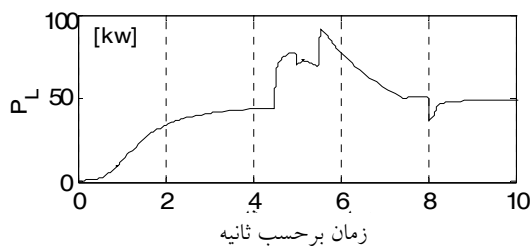
و منحنی مقادیر زبانی آنها به ترتیب در شکل‌های (۱۴) تا (۱۶) آورده شده است. آموزش مقادیر زبانی با الگوریتم رنگیک انجام شد.



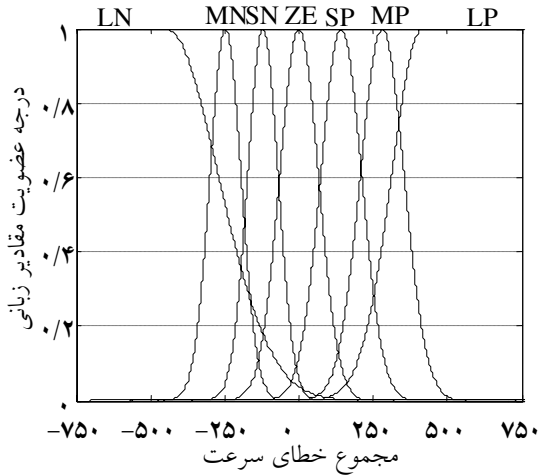
شکل ۱۴ مقادیر زبانی خطای سرعت



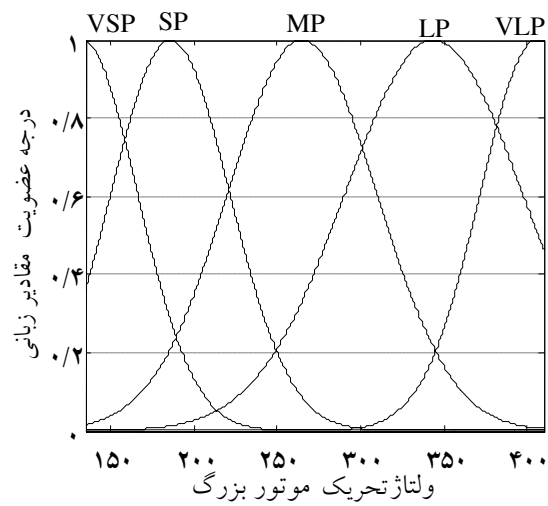
شکل ۱۲ خطای کنترل کننده‌های اول و دوم



شکل ۱۳ توان خروجی موتورهای اول و دوم



شکل ۱۵ مقادیر زبانی انتگرال خطای سرعت



شکل ۱۶ مقادیر زبانی ولتاژ تحریک

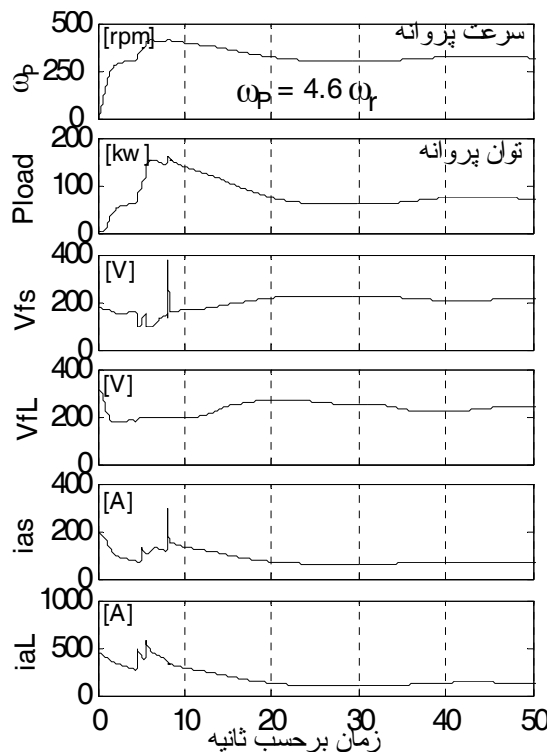
جدول ۴ مجموعه قوانین کنترل کننده موتور اصلی

$V_f L$	Sum_e_i	e_i	شماره قانون
VSP	NONE	LN	۱
LP	NONE	MN	۲
MP	LP	SN	۳
VSP	MP	SN	۴
SP	SP	SN	۵
VSP	SN	SN	۶
VSP	MN	SN	۷
VSP	LN	SN	۸
SP	ZE	ZE	۹
VSP	LN	ZE	۱۰
VSP	MN	ZE	۱۱
VSP	SN	ZE	۱۲
SP	LP	SP	۱۳
SP	SN	SP	۱۴
VSP	SP	SP	۱۵
VSP	MP	SP	۱۶
VSP	LP	SP	۱۷
VSP	LN	MP	۱۸
VSP	LP	MP	۱۹
VSP	MP	MP	۲۰
LP	NONE	LP	۲۱

۲-۲-۶- کنترل کننده فازی موتور کوچکتر (کروز)

به طور مشابه براساس خطای سرعت (e_i) و انتگرال آن (Sum_e_i) مجموعه قوانین با الهام از تجربیات حاصل از کنترل کننده PI جدول (۵) برای تعیین ولتاژ تحریک موتور کروز (خروجی کنترل کننده) ارائه شده است.

به طور مشابه کنترل کننده PI نتایج شبیه‌سازی برای کنترل کننده فازی در شکل (۱۸) آورده شد.



شکل ۱۸ نتایج شبیه‌سازی کنترل کننده فازی شامل کمیتهای استارت دو موتور هم محور برای سرعت [rpm]

$$\omega_{ref} = 319 \text{ همراه با دو مقاومت را انداز}$$

۷- ساخت نمونه آزمایشگاهی

در آزمایشگاه دو موتور با توانهای نامی [۱] [kw] و [۰/۶] [kw] توسط ترمز فوکو (به عنوان بار) مطابق شکل (۱۹) متصل شده‌اند. سایر مشخصات موتورها در جدول (۶) داده شده است. پروانه زیردریایی به نحوی شبیه‌سازی شده که اولاً با مشخصات ترمز فوکوی موجود مطابقت داشته باشد و ثانیاً با توجه امکانات آزمایشگاهی و بی‌اثر بودن نقش جعبه‌دنده بر نتایج کار، به آن نیازی نباشد.

جدول ۵ مجموعه قوانین کنترل کننده موتور کروز

V_{fS}	Sum_e_i	e_i	شماره قانون
VSP	NONE	LN	۱
SP	NONE	MN	۲
SP	NONE	SN	۳
VSP	LN	ZN	۴
VSP	MN	ZE	۵
VSP	SN	ZE	۶
SP	ZE	ZE	۷
SP	SP	ZE	۸
MP	MP	ZE	۹
VSP	LP	ZE	۱۰
MP	NONE	SP	۱۱
MP	NONE	MP	۱۲
VLP	NONE	MP	۱۳

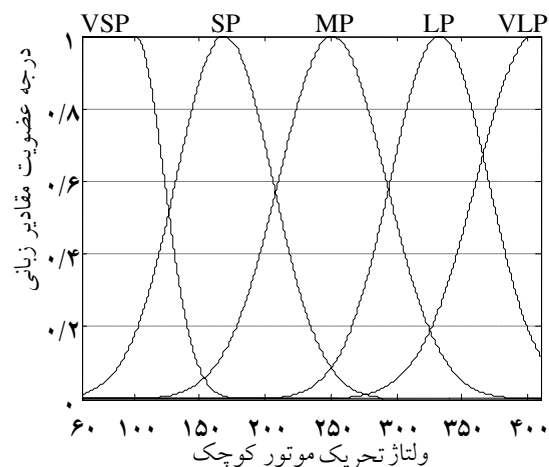
مقادیر زبانی $V_{f2} = V_{FS}$ و Sum_e_i ، e_i در زیر تعریف شده است.

$$e_i : [LN, MN, SN, ZE, SP, MP, LP]$$

$$Sum_e_i : [LN, MN, SN, ZE, SP, MP, LP]$$

$$V_{fS} : [VSP, SP, MP, LP, VLP]$$

منحنی مقادیر زبانی V_{fS} در شکل (۱۷) آورده شده است.

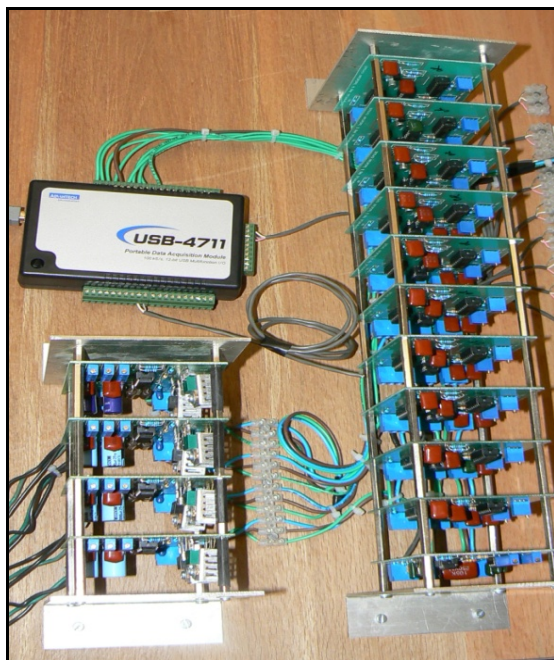


شکل ۱۷ مقادیر زبانی ولتاژ تحریک V_{fS}

توسط دیتالاگر و بردهای واسطه مطابق شکل (۲۱) از شکل آنالوگ به دیجیتال تبدیل شد، به کامپیوتر منتقل می‌شود. در شکل (۲۲) نمونه صنعتی دستگاه نشان داده شده که طبقه زیرین دستگاه به تأمین تغذیه DC از برق شهر اختصاص دارد.



شکل ۲۰ نمونه صنعتی موتور تزویج شده



شکل ۲۱ مبدل آنالوگ به دیجیتال و بردهای واسطه

جدول ۶ مشخصات موتورهای هم محور شده

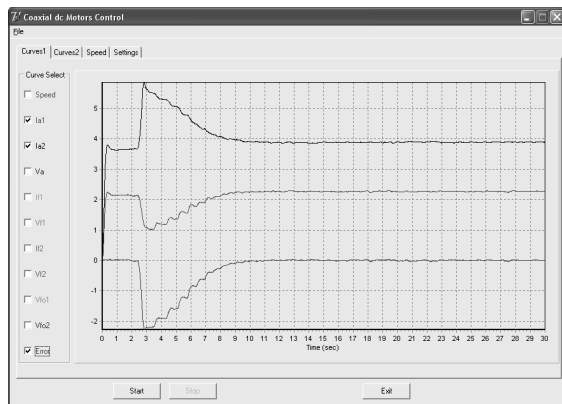
مشخصه	موتور کوچک	موتور بزرگ
ولتاژ آرمیچر	۲۰۰V	۲۰۰V
جریان نامی آرمیچر	۳/۵A	۲۳۰H
ضریب القابی تحریک	۰/۰۲۶۹H	۰/۰۲H
ضریب القابی آرمیچر	۳/۵۴۱۴H	۳/۱۵۵۷H
ضریب القابی متقابل	$\Omega_{7/0.457}$	$\Omega_{4/821}$
مقاومت تحریک	$\Omega_{40/40.816}$	$\Omega_{568/5714}$
ممان اینرسی	0.011 kg.m^2	0.0085 kg.m^2
ضریب اصطکاک	0.007 N.m.s	0.003 N.m.s



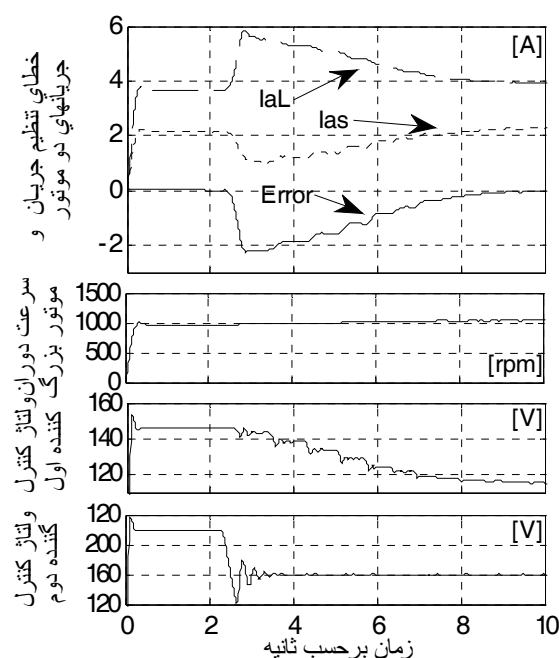
شکل ۱۹ نمونه آزمایشگاهی موتورهای تزویج شده

لازم است ممان اینرسی و اصطکاک ترمز فوکو نیز در روابط در نظر گرفته شده و جعبه‌دنده نیز از مدل حذف شود. بنابر این $J_G = J_{F_0}$ و $\beta_G = \beta_{F_0} = 1$ در نظر گرفته می‌شود. مقادیر اندازه‌گیری شده پس از آنکه

تعییب سرعت مطلوب برابر $[0/05 \text{ rpm}]$ و خطای تقسیم نسبت جریان برابر $0/035$ است که دقت بسیار خوبی محسوب می‌شود.

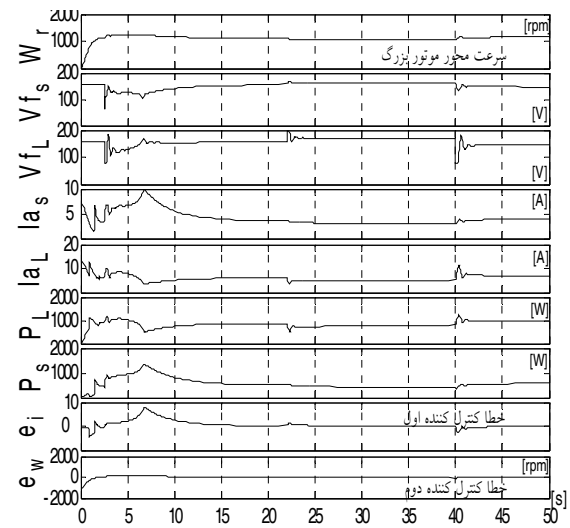


شکل ۲۳ جریان آرمیچر و خطای تقسیم جریان نمونه صنعتی



شکل ۲۴ به ترتیب از بالا، شکل جریان‌های دو موتور و خطای تقسیم جریان، شکل بعد سرعت موتور و دو شکل آخر ولتاژ تحрیک دو موتور برای مدن ۱۲ ثانیه پس از استارت موتورها

۱-۷ نتایج شبیه سازی و آزمون‌های عملی
برای موتورهای جدول (۱) و کترل‌کننده PI دو آزمون انجام شد. الف: شبیه‌سازی کامپیوتری رفتار موتورها در خلال سه فرمان متوالی، محاسبه و در شکل (۲۲) آورده شده است. فرمان اول شامل راهاندازی موتورها در زیر بار نامی برای رسیدن به سرعت $[1100 \text{ rpm}]$ است. فرمان دوم کاهش سرعت به $[1050 \text{ rpm}]$ در ثانیه ۲۲ بوده و فرمان سوم افزایش سرعت به $[1146 \text{ rpm}]$ در ثانیه ۴۰ بوده است. خطای نسبت جریانها در انتهای هر مرحله به مقدار $0/002$ رسیده و خطای سرعت نیز برابر $0/01 \text{ rpm}$ است که بهتر از حد مطلوب است. ب: آزمون‌های عملی برای موتورها در وضعیتهای مختلف اجرا شد. نتایج جریان‌ها و خطای تنظیم برای رسیدن به سرعت $[1025 \text{ rpm}]$ در بار $[6/5 \text{ N.m}]$ از $[30 \text{ s}]$ از نرم‌افزار کترل‌کننده در شکل (۲۳) آورده شده است.



شکل ۲۲ کمیت‌های دو موتور هم محور درسه وضعیت متوالی

۱-استارت ۲-کاهش سرعت ۳-افزایش سرعت

نتایج کامل برای وضوح بیشتر پس از انتقال اطلاعات به نرم‌افزار مطلب در شکل (۲۴) ترسیم شده است. خطای

- Experiments," IEEE Transactions on Control Systems Technology, Vol. 17, pp. 215-226, Jan. 2009.
- [4] Alf Kare Adnane, "Maritime Electrical Installations and Diesel Electric Propulsion," ABB AS Marine, Oslo, April 2003.
- [5] Fitzgerald A. E., 'Electric Machinery', McGraw-Hill, 2003.
- [6] Siemens DC Drives of Compact Design, 'DC Motors Size 100 to 630,' Catalog DA12, 2004.
- [7] B. R. Lin, S. C. Tsay, C. S. Yang, "Soft-switching DC-DC converter with parallel-connected," IET Electric Power Applications, Vol. 1, No.1, pp. 17-28, January 2007.
- [8] Vonnet, M., Ait-Ahmed, N., "Marine propeller dynamics modeling using a frequency domain approach," 5th IEEE International Multi-Conference on Systems, Signals and Devices, pp. 1-6, July 2008.
- [9] جعفر بلند، م.، "مدل‌سازی دینامیک زیردریایی میدجت در عمق پریسکوپی به صورت ترکیبی از دینامیک‌های فرکانس کم و فرکانس زیاد،" چهاردهمین کنفرانس سالانه (بین المللی) مهندسی مکانیک ۲۸-۲۶ اردیبهشت ۱۳۸۵، دانشگاه صنعتی اصفهان.
- [10] Jeane-Jacques E. Slotine, Wieping LI, 'Applied Nonlinear Control,' Prentice Hall, 1991

۸- نتیجه‌گیری

برای افزایش توان و بهبود بازدهی در سیستم محرک زیردریایی می‌توان از دو موتور متفاوت به نحوی که در این مقاله گفته شده استفاده کرد. این سیستم از نظر بازدهی برتر از سایر سیستم‌های محرکی است که از موتورهای الکتریکی استفاده می‌کنند. با این روش بازدهی مرحله گشتزنی که یکی از مهمترین وضعیت‌های حرکتی شناور زیرسطحی است نسبت به روش‌های دیگر بهتر و لذا بر عملیاتی بیشتر می‌شود. امکان تفکیک کنترل کننده سیستم به دو کنترل کننده مستقل برای تنظیم سرعت بار و یک کنترل کننده وابسته برای تقسیم مناسب بار بین دو موتور وجود دارد. به این ترتیب می‌توان هر دو هدف کنترل را برآورده ساخت.

۹- مراجع

- [1] Richard, Pekelney and Folks, "Submarine Main Propulsion Diesels," The Fleet Type Submarine Online Main Propulsion Diesels Naval personnel 16161, Jan. 2004.
- [2] P. Prempraneerach, J. Kirtley, M. S. Triantafyllou, "Stochastic Modeling of Integrated Power System coupled to Hydrodynamics in the Ship," IEEE International Symposium on Power Electronics, Electrical Drives, Automation and Motion, pp. 563-568, 11-13 June 2008.
- [3] Pivano, L., Johansen, T. A., "A Four-Quadrant Thrust Estimation Scheme for Marine Propellers: Theory and

- [14] Wong, K. F., Cheng, K. W. E., "Four-quadrant instantaneous torque control of switched reluctance machine at low speed based on co-energy control," IEEE Electric Power Applications, IET, Vol. 3, 2009.
- [11] Srisertpol, J., Khajorntraidet, C., "Estimation of DC motor variable torque using adaptive compensation," IEEE Control and Decision Conference, Chinese, pp. 712-717, 17-19 June 2009.
- [12] Jafarboland, M, Sadati, N., Momeni, H., R., "Robust Tracking Control of Attitude Satellite with Using New SMC and EKF," IEEE Aerospace Conference, Big Sky, Montana, USA, March 4-11, 2006.
- [13] Yu-Long Cui, Hai-Long Lu, "Design And Simulation Of Cascade Fuzzy Self - Adaptive PID Speed Control Of A Dc Motor," IEEE Proceedings Of The Fifth International Conference On Machine Learning And Cybernetics, pp. 655-660, Dalian, 13-16 August 2006.